

УДК 537.311

О ГАЛЬВАНОМАГНИТНЫХ СВОЙСТВАХ НЕОДНОРОДНЫХ ПЛЕНОК С МАЛОЙ КОНЦЕНТРАЦИЕЙ ВКЛЮЧЕНИЙ

В. А. Кашин

В квадратичном по концентрации включений приближении вычислен эффективный тензор проводимости двумерных систем в поперечном магнитном поле H . Показано, что в сильных магнитных полях ($H \rightarrow \infty$) в составляющих эффективного тензора проводимости σ_{xx} и σ_{yy} появляется неаналитическая зависимость от магнитного поля. Обсуждены гальваномагнитные свойства системы с диэлектрическими и с идеально проводящими включениями.

1. Изучение гальваномагнитных свойств неоднородных пленок представляет значительный интерес. В [1] для двумерных двухкомпонентных систем в поперечном магнитном поле при критической концентрации $p=1/2$ найдено точное выражение для эффективного тензора проводимости $\hat{\sigma}_e$. В [2-4] представлена последовательная схема вычисления эффективных характеристик двухкомпонентных сред при произвольном соотношении между свойствами компонент. В [4] в c^2 -приближении было получено общее выражение для эффективной проводимости σ_e при $\mathbf{H}=0$. Квадратичная по концентрации c поправка выражена через тензор поляризуемости $\hat{\Lambda}$ пары включений во внешнем электрическом поле. Для двумерной системы с включениями круговой формы этот тензор может быть найден точно, что позволяет в c^2 -приближении вычислить эффективную проводимость σ_e в явном виде [4].

В настоящей работе метод работы [4] применен для вычисления в c^2 -приближении эффективного тензора проводимости $\hat{\sigma}_e$ двумерных систем в поперечном магнитном поле H . Получено соответствующее общее выражение для тензора $\hat{\sigma}_e$ (см. формулу (2) в тексте). Для системы с включениями круговой формы вычислен тензор поляризуемости, что позволяет найти $\hat{\sigma}_e$ в явном виде. Проведено сравнение с результатами, полученными в [2, 3]. Рассмотрен случай сильных магнитных полей ($H \rightarrow \infty$). При этом в составляющих эффективного тензора проводимости σ_{xx} и σ_{yy} появляется неаналитическая зависимость от магнитного поля. Обсуждены также гальваномагнитные свойства системы с диэлектрическими ($\hat{\sigma}_2=0$) и с идеально проводящими включениями ($\hat{\sigma}_2 \rightarrow \infty$).

2. Рассмотрим неоднородную изотропную двумерную систему в поперечном магнитном поле \mathbf{H} с тензором проводимости $\hat{\sigma}(\mathbf{r})$ вида

$$\hat{\sigma} = \begin{pmatrix} \sigma_x & \sigma_a \\ -\sigma_a & \sigma_x \end{pmatrix}. \quad (1)$$

Здесь $\sigma_a(\mathbf{r})$ — холловская составляющая тензора $\hat{\sigma}(\mathbf{r})$.

Метод работы [4] может быть обобщен и на случай $\mathbf{H} \neq 0$. В результате для составляющих эффективного тензора проводимости $\hat{\sigma}_e$ получаем

$$(\hat{\sigma}_e - \hat{\sigma}_1)_{\alpha\beta} = \sigma_{x1} \left\{ 4\pi N \overline{\Lambda_{\alpha\beta}^{(1)}} + 2\pi N^2 \left[\frac{1}{N} (\Lambda_{\alpha\beta}^{(2)} - 2\Delta_{\alpha\beta}^{(1)}) + 4\pi \overline{\Lambda_{\alpha\gamma}^{(1)}} \overline{\Lambda_{\gamma\beta}^{(1)}} \right] \right\}. \quad (2)$$

Здесь N — размерная концентрация включений.

В линейном по N приближении (2) совпадает с выражением, полученным в [5].¹ Здесь одной чертой обозначено усреднение по углам [5]

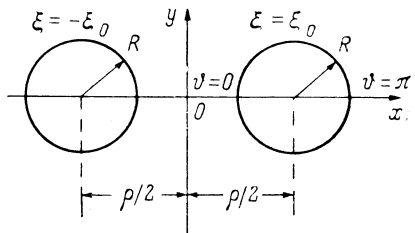
$$\bar{\Lambda}_{xx} = \bar{\Lambda}_{yy} = \frac{1}{2} (\Lambda_{xx} + \Lambda_{yy}) = \frac{1}{2} S p \hat{\Lambda}, \quad \bar{\Lambda}_{xy} = -\bar{\Lambda}_{yx} = \frac{1}{2} (\Lambda_{xy} - \Lambda_{yx}). \quad (3)$$

Двойная черта, как и в [4], обозначает как усреднение по углам, так и по расстояниям между включениями

$$\overline{\overline{\frac{1}{N} (\Lambda_{\alpha\beta}^{(2)} - 2\Lambda_{\alpha\beta}^{(1)})}} = \int_{\rho \geq \rho_0} (\overline{\Lambda_{\alpha\beta}^{(2)}} - 2\overline{\Lambda_{\alpha\beta}^{(1)}}) d\rho, \quad (4)$$

где ρ_0 — минимальное расстояние, на которое могут сблизиться два включения (так, $\rho_0 = 2R$ для круговых включений радиуса R).

Как следует из формул (2)—(4), для расчета квадратичной по концентрации поправки необходимо найти тензор поляризуемости $\hat{\Lambda}^{(2)}$ пары включений в поперечном магнитном поле. Задача об определении тензора поляризуемости двух кругов может быть аналогично [4] решена точно в биполярной системе координат. Для этого выберем координатную систему (x, y) , согласно рисунку. Биполярные координаты (ξ, ϑ) вводятся с помощью соотношений [6]



$$x = \frac{a \operatorname{sh} \xi}{\operatorname{ch} \xi + \cos \vartheta}, \quad y = \frac{a \sin \vartheta}{\operatorname{ch} \xi + \cos \vartheta}. \quad (5)$$

Линия $\xi = \text{const}$ есть окружность радиуса $a/\operatorname{sh} \xi$ с центром в точке $x = a \operatorname{cth} \xi$, $y = 0$. Следовательно, границам включений отвечают $\xi = \xi_0$ (для правого круга) и $\xi = -\xi_0$ (для левого), причем

$$\xi_0 = \ln \{ [\rho + (\rho^2 - 4R^2)^{1/2}] / 2R \}; \quad a = \frac{1}{2} (\rho^2 - 4R^2)^{1/2}. \quad (6)$$

Пусть вдали от включений (в матрице с тензором проводимости $\hat{\sigma}_1$) задано однородное электрическое поле \mathbf{E}_0 , потенциал которого есть $\varphi_0 = -\mathbf{E}_0 \mathbf{r} = -E_0 (x \cos \alpha + y \sin \alpha)$. Потенциал вне включений ($|\xi| \leq \xi_0$, где ξ_0 определено согласно (6)) ищем в виде

$$\varphi_e = \varphi_0 + \sum_{n=1}^{\infty} (a_n \operatorname{ch} n\xi \sin n\vartheta + b_n \operatorname{sh} n\xi \cos n\vartheta), \quad |\xi| \leq \xi_0; \quad (7)$$

внутри правого включения

$$\varphi_i^{(1)} = a_0^{(1)} + \sum_{n=1}^{\infty} (a_n^{(1)} e^{-n\xi} \sin n\vartheta + b_n^{(1)} e^{-n\xi} \cos n\vartheta), \quad \xi \geq \xi_0; \quad (8)$$

внутри левого включения

$$\varphi_i^{(2)} = a_0^{(2)} + \sum_{n=1}^{\infty} (a_n^{(2)} e^{n\xi} \sin n\vartheta + b_n^{(2)} e^{n\xi} \cos n\vartheta), \quad \xi \leq -\xi_0. \quad (9)$$

Граничные условия на правом включении обычные — непрерывность потенциала и нормальной составляющей плотности тока

$$\xi = \xi_0 : \varphi_e = \varphi_i^{(1)}, \quad \sigma_{x1} \frac{\partial \varphi_e}{\partial \xi} + \sigma_{a1} \frac{\partial \varphi_e}{\partial \vartheta} = \sigma_{x2} \frac{\partial \varphi_i^{(1)}}{\partial \xi} + \sigma_{a2} \frac{\partial \varphi_i^{(1)}}{\partial \vartheta}, \quad (10)$$

¹ При сравнении нужно учесть, что из-за опечатки в формуле (39) работы [5] выпал множитель σ_{x1} перед $\langle \hat{A} \rangle$. Кроме этого, определенный здесь дипольный момент \mathbf{p} вдвое меньше, чем в [5].

где $\hat{\varepsilon}_2$ — тензор проводимости включения. Аналогичные граничные условия должны выполняться и на левом ($\xi = -\xi_0$) включении.

Удовлетворяя граничным условиям при $\xi = \pm \xi_0$, находим коэффициенты разложений (7)—(8)

$$\begin{aligned} a_n &= D_n [-2B \cos \alpha + (A + \delta_H^2 e^{-2n\xi_0}) \sin \alpha], \\ b_n &= -D_n [(A - \delta_H^2 e^{-2n\xi_0}) \cos \alpha + 2B \sin \alpha], \end{aligned} \quad (11)$$

$$\delta_H^2 = \frac{(\sigma_{x1} - \sigma_{x2})^2 + (\sigma_{a1} - \sigma_{a2})^2}{(\sigma_{x1} + \sigma_{x2})^2 + (\sigma_{a1} - \sigma_{a2})^2}, \quad A = \frac{\sigma_{x1}^2 - \sigma_{x2}^2 - (\sigma_{a1} - \sigma_{a2})^2}{(\sigma_{x1} + \sigma_{x2})^2 + (\sigma_{a1} - \sigma_{a2})^2},$$

$$B = \frac{\sigma_{x1} (\sigma_{a1} - \sigma_{a2})}{(\sigma_{x1} + \sigma_{x2})^2 + (\sigma_{a1} - \sigma_{a2})^2}, \quad (12)$$

$$a_n^{(1)} = 2aE_0 (-1)^n \sin \alpha + a_n e^{n\xi_0} \operatorname{ch} n\xi_0, \quad b_n^{(1)} = -2aE_0 (-1)^n \cos \alpha + b_n e^{n\xi_0} \operatorname{sh} n\xi_0, \quad (13)$$

$$D_n = \frac{4aE_0 (-1)^n e^{-2n\xi_0}}{1 - \delta_H^2 e^{-4n\xi_0}}, \quad a_n^{(2)} = a_n^{(1)}, \quad b_n^{(2)} = -b_n^{(1)}, \quad a_0^{(2)} = -a_0^{(1)} = aE_0 \cos \alpha. \quad (14)$$

Находя асимптотическое выражение для φ_e из (7) ($\xi \simeq 2axr^{-2}$, $\vartheta \simeq \pi - 2ayr^{-2}$ при $r \rightarrow \infty$) и сравнивая его с выражением для потенциала на больших расстояниях

$$\varphi = -E_0 r + 2 \frac{\mathbf{p}\mathbf{r}}{r^2} + \dots, \quad P_\alpha = \Lambda_{\alpha\beta} E_{0\beta}, \quad (15)$$

определяем значения составляющих тензора $\hat{\Lambda}^{(2)}$

$$\Lambda_{xx}^{(2)} = -4a^2 \sum_{n=1}^{\infty} \frac{ne^{-2n\xi_0}}{1 - \delta_H^2 e^{-4n\xi_0}} (A - \delta_H^2 e^{-2n\xi_0}), \quad \Lambda_{yy}^{(2)} = -8a^2 B \sum_{n=1}^{\infty} \frac{ne^{-2n\xi_0}}{1 - \delta_H^2 e^{-4n\xi_0}}, \quad (16)$$

$$\Lambda_{yy}^{(2)} = -4a^2 \sum_{n=1}^{\infty} \frac{ne^{-2n\xi_0}}{1 - \delta_H^2 e^{-4n\xi_0}} (A + \delta_H^2 e^{-2n\xi_0}), \quad \Lambda_{xy}^{(2)} = -\Lambda_{yx}^{(2)}, \quad (17)$$

где ξ_0 и a даются выражениями (6); A , B и δ_H^2 определены согласно (12). При $\rho \rightarrow \infty$ имеем: $\xi_0 \rightarrow \ln(\rho/R)$, $a \rightarrow \rho/2$, так что

$$\Lambda_{xx}^{(2)}(\infty) = \Lambda_{yy}^{(2)}(\infty) = 2\Lambda_{xx}^{(1)} = -AR^2, \quad \Lambda_{xy}^{(2)}(\infty) = -\Lambda_{yx}^{(2)}(\infty) = 2\Lambda_{xy}^{(1)} = -2BR^2. \quad (18)$$

В результате из (2)—(4) с учетом (16)—(18) для составляющих эффективного тензора проводимости получаем

$$(\sigma_{xe} - \sigma_{x1})/\sigma_{x1} = -2cA + 2c^2 [-A\delta_H^2 F(\delta_H) + A^2 - 4B^2], \quad (19)$$

$$(\sigma_{ae} - \sigma_{a1})/\sigma_{a1} = -B \frac{\sigma_{x1}}{\sigma_{a1}} \{4c + 4c^2 [\delta_H^2 F(\delta_H) - 2A]\}, \quad (20)$$

$$F(\delta_H) = \sum_{n=1}^{\infty} n \int_0^1 \frac{x^{3n-3} (1-x^2) (1-x)^2}{1 - \delta_H^2 x^{2n}} dx. \quad (21)$$

Здесь $c = \pi NR^2$ — безразмерная концентрация (доля занимаемого объема) включений.

3. Выразим теперь эффективные характеристики среды σ_{xe} и σ_{ae} из (19) и (20) через гальваномагнитные свойства отдельных компонент и функцию f , которая описывает эффективную проводимость системы той же структуры при $\mathbf{H} = 0$ (будем называть ее нулевой). Нулевая система, согласно [3], фактически та же исходная (при $\mathbf{H} = 0$) с измененными, в общем случае, проводимостями компонент. Воспользуемся формулами, полученными в [3], которые устанавливают изоморфизм задач об электропроводности произвольной двумерной двухкомпонентной системы и о ее гальваномагнитных свойствах, и функцией f , полученной в c^2 -приближении в [4].

$$f(p, h) = 1 - 2c\delta_0 + 2c^2\delta_0^2 [1 - \delta_0 F(\delta_0)], \quad \delta_0 = (1-h)/(1+h), \quad h = \sigma_2/\sigma_1, \quad (22)$$

где σ_1 и σ_2 — проводимости первой и второй компонент, ρ — концентрация первой компоненты, $\rho = 1 - c$. Кроме этого, в качестве нулевой системы (т. е. без холловских составляющих) выбирается такая, для которой вместо параметра h взят параметр λ ($h \rightarrow \lambda$), определяемый соотношением

$$\lambda = \frac{1}{4\tau_{x1}\tau_{x2}} \{[(\tau_{x1} + \sigma_{x2})^2 + (\sigma_{a1} - \sigma_{a2})^2]^{1/2} - [(\tau_{x1} - \sigma_{x2})^2 + (\sigma_{a1} - \sigma_{a2})^2]^{1/2}\}. \quad (23)$$

Следовательно,

$$\delta_{H^2} = (1 - \lambda)(1 + \lambda). \quad (24)$$

Если вычислить теперь $\delta_{H^2}^2$ по формуле (24), куда надо подставить λ из (23), то получим величину $\delta_{H^2}^2$, определенную ранее (12).

Подставляя в упомянутые выше формулы из [3] функцию f из (22), в которой необходимо сделать замену $\delta_0 \rightarrow \delta_H$, и величину λ из (23), получаем составляющие эффективного тензора проводимости системы (19) и (20), что подтверждает справедливость проделанного расчета.

Для дальнейших оценок будем использовать следующие модельные выражения для величин σ_{xi} и σ_{ai} , справедливые в изотропном случае и в τ -приближении при произвольных H [4]

$$\sigma_{xi} = \sigma_i / (1 + \beta_i^2), \quad \sigma_{ai} = \sigma_i \beta_i / (1 + \beta_i^2).$$

Здесь $\sigma_i \propto n_i \mu_i$ — проводимость i -й компоненты при $H = 0$; n_i и μ_i — концентрация и подвижность носителей; $\beta_i \sim \mu_i H$. Рассмотрим случай сильных магнитных полей ($H \rightarrow \infty$). Тогда $\tau_{xi} \approx \tau_i \beta_i^{-2} \propto H^{-2}$, $\sigma_{ai} \approx \sigma_i \beta_i^{-1} \propto H^{-1}$. Пусть концентрация носителей n_1 и n_2 в обеих компонентах различаются, тогда $\delta_H^2 \approx 1$, $A \approx -1$, $B \propto H^{-1}$, $\lambda \propto H^{-2}$. В сильных магнитных полях при $\lambda \rightarrow 0$ в разложении функции F по степеням λ имеется неаналитический член

$$\Delta F = 8\zeta(3) \lambda^3 \ln \lambda, \quad \lambda \rightarrow 0. \quad (25)$$

Здесь $\zeta(3) = 1.202$. — дзета-функция Римана. Это приводит к неаналитической зависимости от магнитного поля (при $H \sim \infty$) величин σ_{xe} и σ_{ae}

$$\Delta \sigma_{xe} \propto H^{-8} \ln(H^{-2}), \quad \Delta \sigma_{ae} \propto H^{-9} \ln(H^{-2}), \quad H \rightarrow \infty. \quad (26)$$

4. Рассмотрим систему с идеально проводящими включениями: $\hat{\sigma}_2 \rightarrow \infty$. В этом случае из (19) и (20) с учетом (12) получаем

$$\sigma_{xs}^{(e)} = \tau_{x1} f_s, \quad \sigma_{as}^{(e)} = \sigma_{a1}. \quad (27)$$

Здесь введена функция

$$f_s = 1 + 2c + 2c^2 [1 + F(1)]. \quad (28)$$

Индекс s означает идеально проводящие включения.

Диэлектрические включения $\hat{\sigma}_2 = 0$ рассмотрим в случае сильных магнитных полей $H \rightarrow \infty$, когда диагональной составляющей σ_{x1} можно пренебречь по сравнению с σ_{a1} . Тогда из (12), (19), (20) получаем

$$\sigma_{xs}^{(d)} = \sigma_{x1} f_s, \quad \sigma_{as}^{(d)} = \sigma_{a1}, \quad (29)$$

где индекс d означает диэлектрические включения.

Формулы (27) и (29) совпадают с соответствующими результатами, полученными в [2, 3] другим способом. Из [2, 3] для диэлектрического включения при $H \rightarrow \infty$ следует $\sigma_{xs}^{(d)} = \sigma_{x1} / f_d$. Но функции f_s и f_d , свойства которых исследованы в [4], в квадратичном по c приближении связаны между собой соотношением $f_s f_d = 1$.

Аналогия между формулами (27) и (29) не должна вызывать недоумение, так как в достаточно сильном магнитном поле, как было отмечено в [3], граничное условие для диэлектрического включения становится таким же, как и для идеально проводящего.

В заключение выражаю благодарность Б. Я. Балагурову за обсуждение настоящей работы.

- [1] Дыгпе А. М. ЖЭТФ, 1970, т. 59, № 8, с. 641—647
- [2] Балагуров Б. Я. ЖЭТФ, 1981, т. 81, № 8, с. 665—671.
- [3] Балагуров Б. Я. ЖЭТФ, 1982, т. 82, № 4, с. 1333—1346.
- [4] Балагуров Б. Я. ЖЭТФ, 1985, т. 89, № 11, с. 1796—1809.
- [5] Балагуров Б. Я. ЖТФ, 1983, т. 53, № 3, с. 428—435.
- [6] Морс Ф. М., Фешбах Г. Методы теоретической физики, т. 2, М.: ИЛ, 1960. 896 с.
- [7] Лифшиц И. М., Лазель М. Я. Каганов М. И. Электронная теория металлов. М.: Наука, 1971. 416 С.

ВНИПКТИ источников тока
Москва

Поступило в Редакцию
1 июля 1987 г.
